

LED 배열을 이용한 광 논리 게이트에 관한 연구

84324

권 원 현
박 한 규
연세대학교 전자공학과

A Study on the optical logic gate using LED array

Won Hyun Koun Han Kyu Park
Dept. of Electronics, Yonsei Univ.

ABSTRACT

Using LED sources, the system that performs optical logic function of the input data arrays will be presented. Sixteen possible functions of two binary data arrays, such as AND, OR, NOR and XOR are simply obtained in parallel by controlling LED switching mode. Experimental result and some examples of application will be given.

1. 서 론

2차원 혹은 3차원 회상과 같은 대량의 메이타를 고속으로 처리하기에는, 현재의 컴퓨터는 기본적으로 serial로 메이타를 처리하므로 근본적인 문제를 안고 있다. 이런 결함을 극복하기 위하여 광의 초고속 및 parallel 처리 능력을 이용하여 정보를 처리하기 위한 노력이 계속되고 있다. 1873년 Abbe의 렌즈에 대한 이론 이후 계속되어온 광정보처리에 관한 연구는 현재 광 논리 소자는 물론 광 TR, 광 IC 등의 개발로 광 컴퓨터의 실현을 위한 연구가 활발히 수행되고 있다. 본 연구에서는 인코더어댑터 광원인 LED를 사용하여 광학적으로 두 입력 메이타 배열에 대한 논리 동작을 할 수 있는 게이트를 구성하였다. 또한 시스템의 적용으로서 두 입력 메이타 배열에 대한 덧셈 및 뺄셈을 수행하였고 이진변수뿐만 아니라 gray-level의 메이타에 대한 가능성도 알아보았다.

2. 광 논리 게이트

기하광학 (geometrical optics)의 기본 법칙을 이용한 본 시스템의 특징은 다음과 같다.

- 1) LED를 사용함으로서 시스템이 매우 간단하고 실용성이 높다.
- 2) 이진 메이타 배열에 대한 Parallel 처리 능력
- 3) 메이타를 Scanning 할 필요가 없다.
- 4) 입력을 코딩 : 출력을 디코딩
- 5) Single instruction, multi-data
- 6) 렌즈를 사용하지 않음

먼저 입력의 코딩 방법에 대하여 알아본다.

0 혹은 1로 주어진 메이타 배열 A에 대하여 그림 1 a)의 a_{ij} 와 같은 코딩을 한다.

입력 B는 그림 1 a)의 b_{ij} 와 같이 코딩하여 서로 겹치면 ij cell의 형태는 그림 1 bi 와 같이 주어진다.

그림 2는 시스템의 구성을 나타내었다. 네 개의 LED 사이의 거리를 , 입력 및 디코딩 마스크의 Cell 크기를 각각 $2d_1$, $2d$, 광원과 입력, 입력과 스크린과의 거리를 각각 z_1 , z 라 할 때,

$$d = \frac{\ell \cdot d_i}{\ell - d_i}$$

$$z + z_i = \frac{\ell \cdot z_i}{\ell - d_i}, \quad d_i < \ell$$

인 관계를 만족하면 LED α , β , γ , δ 에 의해 ij cell에 전사된 후 디코딩 마스크 되에 나타난 출력 광의 세기는

$$\begin{aligned} g_{ij} = & \alpha(a_{ij}b_{ij}) + \beta(a_{ij}\bar{b}_{ij}) \\ & + \gamma(\bar{a}_{ij}b_{ij}) + \delta(\bar{a}_{ij}\bar{b}_{ij}) \end{aligned}$$

	0	1	a_{ij}^{bij}	0	1
a_{ij}					
b_{ij}					
	(a)		a_{ij}^{bij}	0	1
				$a_{ij} b_{ij}$	

그림 1• 입력 데이터의 코딩 방법

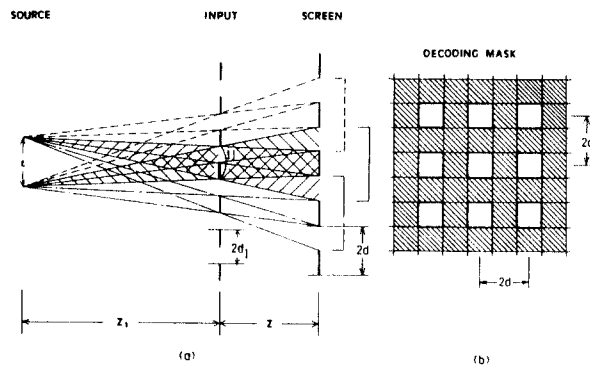


그림 2• 시스템 구성도

따라서 LED α , β , γ , δ 를 적절히 조합하여 개폐시킴으로써 16개의 논리 동작에 대한 결과를 얻을 수 있게 된다.

3• 실험 및 분석

앞의 이론을 실증하기 위하여 16×16 메이트 배열을 갖는 두 입력을 설정하여 실험하였다. 이 메이트를 BTL (Bright- true logic)으로 그려보면 그림 3과 같이 되고 이를 코딩하여 겹친 것과 디코딩 마스크를 그림 4에 나타내었다.

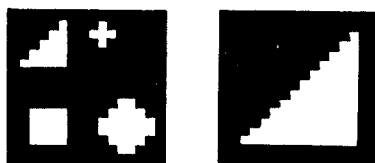


그림 3• 입력 메이트 배열

그림 4• 코딩된 입력 및 디코딩 마스크

입력과 디코딩 마스크는 필름으로 제작하였고 광원 사이의 거리 = 7.2 mm, $d_1 = 1.25$ mm, $d = 1.5$ mm, $Z_1=6.5$ mm, $Z = 13.7$ mm로 하였다. LED는 발산각이 2° 인 정색 광원을 사용하였다. 이를 이용하여 LED를 적절히 개폐시킴으로서 16×16 cell (256 채널)인 두 메이트에 대하여 16개의 논리 함수를 parallel로 수행한 결과를 얻었다. 그런데 채널의 수가 증가함에 따라 기하 광학을 회피 현상의 영향을 받게 된다. 본 방법의 최대 공간 대역폭적 (space-bandwidth product)을 알아보기 위하여 그림 5와 같이 크기 d를 갖는 slit에 점광원이 조사되는 경우 스그린 상의 광분포는 Fresnel - Kirchhoff 적분식에 의해

$$u(x, z) = \int_{-\frac{d}{2}}^{\frac{d}{2}} \exp\left(\frac{j\pi}{\lambda} \left[\left(\frac{x-x_p}{z_s}\right)^2 + \left(\frac{x_p-x}{z}\right)^2 \right]\right) dx,$$

따라서 기하 광학의 법칙이 성립하리면 다음 식을 만족하여야 한다.

$$\ll \lambda < z \ll \frac{d^2}{\lambda} \left(\frac{z+z_s}{z_s} \right)^3$$

여기에서 $z_s \gg z$ 이므로

$$\ll \lambda < z \ll \frac{d^2}{\lambda}$$

이를 이용하여 $20 \times 20 \text{ mm}^2$ 의 면적으로 가능한 채널의 수 및 z를 바탕에 대하여 구하였다.

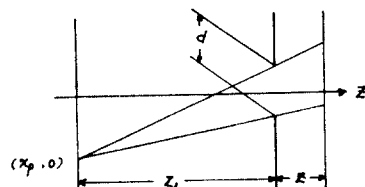


그림 5• 회피 현상의 모델

项目	名称	产地	主要成分		用途
			百分比	单位	
1	氯化钾	山西	30%	kg	肥料
2	硫酸钾	山西	20%	kg	肥料
3	氯化镁	山西	20%	kg	肥料
4	硫酸镁	山西	30%	kg	肥料

표 1. 채널수에 따른 Z의 값

4 • 韩国

는 티동작에 대한 응용으로 두 메이타 배열에 대한 덧셈과 뺄셈을 parallel로 수행하는 경우를 알아보자.

이를 그림 6에 나아내었고 원 안의 숫자는
빛의 세기를 나타낸다. 뺄셈의 경우는 그림 7
의 D처럼 LED 의 빛의 세기를 조절하면
가능하다. 이를 발전시킴으로써 carry 를
고려하지 않은 경우의 4 bit adder 를 그림 8
과 같이 구성할 수 있다.

$$\begin{array}{ccc}
 \text{ADDITION} & \text{AND} & \text{OR} \\
 = & + & + \\
 = & + & + \\
 \text{SUBTRACTION} & \Delta \bar{B} & A + \bar{B} \\
 = & + & +
 \end{array}$$

그림 6. 텁텁 냄새에 대한 LED 빛의 영향

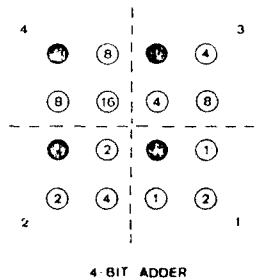


그림 7. 4 bit adder

또한 적당한 코딩 방법을 도입하면 gray-level 메이타를 대안으로 동작도 가능하다. 그런데 앞의 실험 방법은 메이타를 각각 코딩하여 마스크를 제작하여야 하므로 실시간 동작이 불가능하다. 이를 해결하기 위하여 CGH (Computer - Generated Holography) 나 LC LV (Liquid Crystal Light Valve) 를 사용하여야 할 것이다.

5. अंग

LED 의 배열을 이용하여 16개의 눈의 동작을 행할 수 있는 광 눈의 케이스를 256개의 채널을 갖는 경우에 대하여 실험으로 일증하였다.

앞으로 게이트의 실시간 동작을 위한 CGH 및 LCLV에 의한 코딩 등에 대한 연구가 계속되어야 할 것이다.

REFERENCES

1. D.R Maure, "Optical logic function generator," U.S. Patent, 3,680,080, July 25, 1972.
 2. S.A Collins, et al "Optical logic gates using liquid crystal light valve," Appl. Opt. Vol. 20, 2250-2256, 1981.
 3. D.H. Schaefer, "Beyond the super computer", IEEE Spectrum, Vol 19, 32-37, Mar. 1982.
 4. E. Abraham, et. al. "The Optical computer", Sei. Amer. 85-93, Feb. 1983.
 5. Y. Ichioka, "Image encoding by a CGH filter", proc. of SPIE, vol 437, 119-124, August, 1983.
 6. Y. Ichioka, "Optical parallel logic gates using a shadow-casting system for optical digital computing", IEEE Proc., 787-801, July, 1984.
 7. S.H Lee, "Optical Information Processing Fundamentals", Springer-Velag, 1981.